

# Les Paysages Fractals

Cédric BONHOMME

Université Paul-Verlaine de Metz

25 mai 2008

Avec : Jean-Charles BETTINGER

Encadré par : M. Dominique MICHEL

# Plan

## 1 Généralités

- Caractéristiques des fractales
- Dimension topologique
- Dimension de Hausdorff-Besicovitch

## 2 Paysages fractals

- Techniques de générations
  - Iterated Fonction System
  - Plaquage de texture
  - Techniques basées sur un modèle d'érosion
  - Déplacement du point médian
- Mesure de dimension fractale
  - Calcul du périmètre et de l'aire du flocon de Von Koch
  - Calcul de la dimension fractale d'un relief

## 3 Conclusion

## 1 Généralités

- Caractéristiques des fractales
- Dimension topologique
- Dimension de Hausdorff-Besicovitch

## 2 Paysages fractals

- Techniques de générations
  - Iterated Fonction System
  - Plaquage de texture
  - Techniques basées sur un modèle d'érosion
  - Déplacement du point médian
- Mesure de dimension fractale
  - Calcul du périmètre et de l'aire du flocon de Von Koch
  - Calcul de la dimension fractale d'un relief

## 3 Conclusion

# Généralités

## Caractéristiques

- détails similaires à des échelles différentes ;
- trop irrégulier pour être décrit efficacement en termes géométriques traditionnels ;
- exactement ou statistiquement autosimilaire, c'est-à-dire que le tout est semblable à une de ses parties ;
- dimension de Hausdorff-Besicovitch strictement supérieure à sa dimension topologique.

# Généralités

## Trois grandes catégories de fractales

- systèmes de fonctions itérées. Par exemple les IFS (*Iterated Function System*) ;
- les fractales *statistiques*, définies par une fonction de récurrence. Par exemple la fractale de Mandelbrot ;
- les fractales *stochastiques*, aléatoires.

# Généralités - Notions importantes

## Autosimilarité

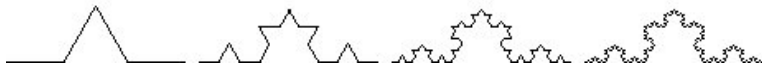
### Autosimilarité

Un objet autosimilaire est un objet qui conserve sa forme, quelle que soit l'échelle à laquelle on l'observe.



# Généralités - Notions importantes

## Dimension topologique



- dimension topologique : 1 ;
- à chaque itération la courbe augmente d'un facteur de  $4/3$  ;
- $\Rightarrow A = 1 + (4/9) + (4/9)^2 + (4/9)^3 + \dots$

# Généralités - Notions importantes

## Dimension de Hausdorff-Besicovitch

- limites pour des objets *classiques* :

- $I(C) = \lim_{u \rightarrow 0} N(u) * u$  ;

- $A(O) = \lim_{u \rightarrow 0} N(u) * u^2$  ;

- $V(O) = \lim_{u \rightarrow 0} N(u) * u^3$  ;

- en général :  $m(O) = \lim_{u \rightarrow 0} N(u) * u^d$  ,  $d \in \{1, 2, 3\}$  ;

- où  $d$  est un entier !



# Généralités - Notions importantes

## Dimension de Hausdorff-Besicovitch

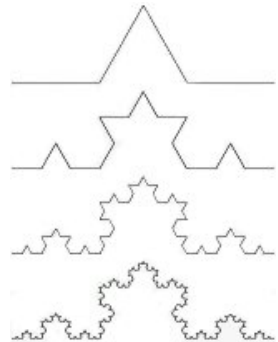
- pour des objets *fractals* :
  - $d$  est un réel !
  - $d$  caractérise le *degré de fractalité* ;
  - $d$  est appelé la dimension de Hausdorff-Besicovitch ;
  - comment la calculer ?
  - $d = \frac{\log(N)}{\log(1/r)}$  où :
    - $r$  est le rapport d'homothétie ;
    - $N$  est le nombre d'*éléments* créés par l'opération homothétie.

# Généralités - Notions importantes

## Dimension de Hausdorff-Besicovitch

Exemple avec la courbe de Von Koch

$n$	$u$	$N(u)$	$u * N(u)$	$u^2$	$N(u) * u^2$
0	1	1	1	1	1
1	$\frac{1}{3}$	4	$\frac{4}{3}$	$\frac{1}{9}$	$\frac{4}{9}$
2	$\frac{1}{9}$	16	$\frac{16}{9}$	$\frac{1}{81}$	$\frac{16}{81}$
$\vdots$					
$n$	$\frac{1}{3^n}$	$4^n$	$\frac{4^n}{3}$	$\frac{1}{3^{2n}}$	$\frac{4^n}{3^{2n}}$



# Généralités - Notions importantes

## Dimension de Hausdorff-Besicovitch

- $I(o_n) = \left(\frac{4}{3}\right)^n \xrightarrow{n \rightarrow +\infty} +\infty$
- $A(o_n) = \left(\frac{4}{9}\right)^n \xrightarrow{n \rightarrow +\infty} 0$
- $m(o_n) = \lim_{n \rightarrow +\infty} 4^n * \left(\frac{1}{3^n}\right)^d = \lim_{n \rightarrow +\infty} \left(\frac{4}{3^d}\right)^n, d \in \mathbb{R}$

$$d = \frac{\ln(4)}{\ln(3)} = 1,26$$

Le quart de l'objet est identique à l'objet initial, à une dilatation d'un facteur 3.

# Généralités - Notions importantes

## Dimension de Hausdorff-Besicovitch

### Démonstration

$$\text{On a : } m(o_n) = \lim_{n \rightarrow +\infty} 4^n * \left(\frac{1}{3^n}\right)^d = \lim_{n \rightarrow +\infty} \left(\frac{1}{3^d}\right)^n, d \in \mathbb{R}.$$

On veut  $\frac{4}{3^d} = 1$  :

$$\begin{aligned} 4 &= 3^d \\ \ln(4) &= d * \ln(3) \\ d &= \frac{\ln(4)}{\ln(3)} \end{aligned}$$



# Généralités - Notions importantes

## Dimension de Hausdorff-Besicovitch

### Démonstration

Nous avons la relation :  $1 = \lim_{u \rightarrow 0} N(u) * u^d, d \in \mathbb{R}.$

$$\begin{aligned} \ln(1) &= \lim_{u \rightarrow 0} (\ln(N(u)) * u^d) \\ 0 &= \lim_{u \rightarrow 0} (\ln(N(u)) + \ln(u^d)) \\ 0 &= \lim_{u \rightarrow 0} \ln(N(u)) + d * \ln(u) \\ \Rightarrow 0 &= \ln(N(u)) + d * \ln(u) \\ d * \ln(u) &= -\ln(N(u)) \\ d &= -\frac{\ln(N(u))}{\ln(u)} \\ d &= \frac{\ln\left(\frac{1}{N(u)}\right)}{\ln(u)} \end{aligned}$$



# Généralités - Notions importantes

## Dimension de Hausdorff-Besicovitch

Finalement :

- dimension topologique : dimension *traditionnelle* à valeur entière ;
- dimension fractale : à valeur entière, métrique.

## 1 Généralités

- Caractéristiques des fractales
- Dimension topologique
- Dimension de Hausdorff-Besicovitch

## 2 Paysages fractals

- Techniques de générations
  - Iterated Fonction System
  - Plaquage de texture
  - Techniques basées sur un modèle d'érosion
  - Déplacement du point médian
- Mesure de dimension fractale
  - Calcul du périmètre et de l'aire du flocon de Von Koch
  - Calcul de la dimension fractale d'un relief

## 3 Conclusion

# Iterated Function System (IFS)





## Iterated Function System (IFS)

- utilisé pour représenter les végétaux et nuages ;
- pas utile que pour les fractales ;
- théorie développée en 1981 par John Hutchinson ;
- technique purement mathématique ;
- une IFS est un ensemble de  $n$  fonctions contractantes.

### Fonction contractante

On appelle "contractante" une fonction affine  $f$  telle que la distance  $d$  entre deux points  $p_1$  et  $p_2$  est plus grande que la distance entre  $f(p_1)$  et  $f(p_2)$ .



# Iterated Function System (IFS)

Définition mathématique de la transformation :

$$W(B) = \bigcup_{n=1}^N W_n(B)$$

- $\{W_n, 1 \leq n \leq N\}$  est l'ensemble des fonctions affines ;
- des probabilités sont associées aux fonctions ;
- avec le théorème du point fixe on a l'existence et l'unicité de l'attracteur.  
⇒ cela en fait des fractales, aléatoires.

# Iterated Function System (IFS)

- les fonctions affines définissent donc les transformations (homothétie, translation, rotation) ;
- de manière itérative les fonctions calculent les nouvelles coordonnées du point précédent ;
- les fonctions sont définies de cette manière :

$$ax + by + e = x_1$$

$$cx + dy + f = y_1$$

$$W_i(X) = W_i(x, y) = \begin{pmatrix} a & b \\ c & d \end{pmatrix} * \begin{pmatrix} x \\ y \end{pmatrix} + \begin{pmatrix} e \\ f \end{pmatrix} = \begin{pmatrix} x_1 \\ y_1 \end{pmatrix}$$



# Iterated Fonction System (IFS)

- $a = R * \cos(\alpha)$  :
- $b = -R' * \sin(\alpha')$  :
- $c = R * \sin(\alpha)$  ;
- $d = R' * \cos(\alpha')$  ;
- $e = x_1 - x$  ;
- $f = y_1 - y$ .

$a$ ,  $b$ ,  $c$  et  $d$  sont les coefficients des équations.

$e$  et  $f$  sont des termes constants. Ils constituent en fait le vecteur de déplacement.

# Iterated Fonction System (IFS)

où :

- $R$  est une réduction sur l'axe des  $X$  ;
- $\alpha$  rotation d'angle sur l'axe de  $X$  dans le sens trigonométrique ;
- $R'$  est une réduction sur l'axe des  $Y$  (en général  $R = R'$ ) ;
- $\alpha'$  rotation d'angle sur l'axe de  $Y$  (en général  $\alpha = \alpha'$ ) ;
- $e$  est une translation sur l'axe des  $X$  ;
- $f$  est une translation sur l'axe des  $Y$ .

# Iterated Fonction System (IFS)

- les coefficients  $a$ ,  $b$ ,  $c$ ,  $d$ ,  $e$  et  $f$  avec une probabilité  $p$  définissent la fractale IFS.
- la somme des probabilités doit être égale à 1 ;
- on dit que la probabilité  $p$  est la fréquence d'appel d'une transformation.

# Iterated Function System (IFS)

## Algorithme général

```
Definir la position initiale Z au hasard
Allumer pixel en position Z
Pour i de 1 a n
    Choisir au hasard une fonction affine f
    Z <- f(Z)
    Allumer pixel en position Z
Fin pour
```



# Iterated Function System (IFS)

## Triangle de Sierpinski

$a$	$b$	$c$	$d$	$e$	$f$	$p$
0.5	0	0	0.5	0	0	0.333
0.5	0	0	0.5	1	0	0.333
0.5	0	0	0.5	0.5	0.8660254	0.334

- trois homothéties de rapport  $\frac{1}{2}$  ;
- le terme 0.8660254 est le sinus de  $60^\circ$  ;
- la dernière probabilité a été arrondie à 0.334 afin que le total soit égal à 1.



# Iterated Function System (IFS)

Fougère de Barnsley

$a$	$b$	$c$	$d$	$e$	$f$	$p$
0	0	0	0.16	0	0	0.01
0.85	0.04	-0.04	0.85	0	1.6	0.85
0.2	-0.26	0.23	0.22	0	1.6	0.07
-0.15	0.28	0.26	0.24	0	0.44	0.07

- la première ligne représente le bas de la tige avec une probabilité de 1% ;
- la deuxième représente le reste de la tige avec une probabilité de 85% ;
- les deux dernières les feuilles.



# Plaquage de texture

- puissante méthode ;
- mais non fractale :
  - $\Rightarrow$  pas un réel mécanisme de génération stochastique ou même statistique.
- paysage dessiné *via* des objets mathématiques statiques ;
- surface des objets revêtues d'images ;
- Gardner [Gar84] modélise un paysage composé (relief, arbres, nuages) par un ensemble de surfaces quadriques 3D.

# Techniques basées sur un modèle d'érosion

- on simule l'érosion du relief ;
- utilisation de lois physiques rendant compte les conséquences du changement du relief ;
- deux méthodes :
  - statique ;
  - dynamique.

# Techniques basées sur un modèle d'érosion

## Méthode statique

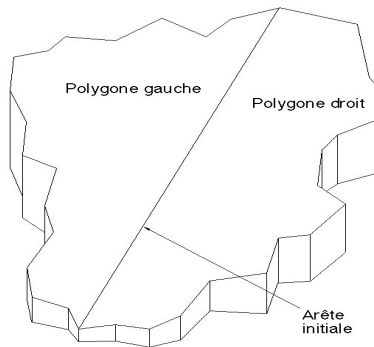
Principe :

- on part d'une arête initiale ;
- puis on génère un arbre binaire par ajouts récursifs d'arêtes (affluents) ;
- pour chaque nouveau nœud :
  - ajout d'un nœud de jonction avec le segment *père* ;
  - ajout d'un nœud à l'extrémité du nouveau segment.

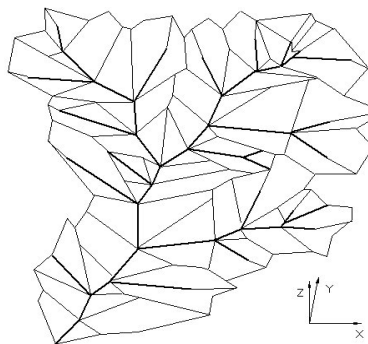
# Techniques basées sur un modèle d'érosion

Méthode statique - Exemple

Au départ :



Après itérations :



# Techniques basées sur un modèle d'érosion

## Méthode dynamique

### Principe :

- ici les processus mettent en œuvre des déplacements de matière ;
- à chaque étape les points du maillage subissent une baisse d'altitude ;
- certain nombre de lois prises en comptes :
  - loi gravitaire ;
  - loi mécanique ;
  - loi chimique ;
  - loi sédimentaire.

# Déplacement du point médian

Principe :

- une surface plane est découpée en plusieurs parties ;
- un déplacement vertical aléatoire est appliqué au centre de chaque parties ;
- on réitère le processus sur chaque nouvelles parties créés.

Avantage :

- méthode simple à comprendre.

Inconvénient :

- les reliefs peuvent présenter des artéfacts sous forme de discontinuités peu vraisemblables.

Solution :

- utilisation d'une fonction décrivant un mouvement *brownien* fractionnaire.

# Déplacement du point médian

## Mouvement brownien

### Mouvement brownien

Fonction dont la variance entre l'instant  $t_1$  et  $t_2$  est proportionnelle à la différence entre  $t_1$  et  $t_2$ .

Mathématiquement :

$$\langle |V_H(t_1) - V_H(t_2)|^2 \rangle = \alpha |t_2 - t_1|^{2H}$$



# Déplacement du point médian

## Mouvement brownien

dans la formule précédente :

- $\alpha$  le coefficient de proportionnalité est un scalaire ;
- $V_H$  est une fonction de  $x$  définie par :
  - $V_H(0) = 0$  ;
  - $\langle |V_H(t+1) - V_H(t)|^2 \rangle = \alpha^2$ .

# Mesure de dimension fractale

Le flocon de Von Koch ...

Dimension fractale :  $d = \frac{\ln(4)}{\ln(3)} = 1,26$  (rappel)



# Mesure de dimension fractale

## Périmètre du flocon de Von Koch

soit :

- $c_{n+1} = 4c_n = c_0 * 4^{n+1} = 3 * 4^{n+1}$  le nombre de côté à l'étape  $n$  ;
- $l_{n+1} = \frac{l_n}{3} = \frac{l_0 * 1}{3^{n+1}} = \frac{1}{3^{n+1}}$  la longueur d'un coté du flocon à l'étape  $n+1$

donc :

- $p_n = c_n * l_n = 3 * \left(\frac{4}{3}\right)^n$  est le périmètre à l'étape  $n$  ;
  - donc :  $\lim_{n \rightarrow +\infty} p_n = +\infty$



# Mesure de dimension fractale

## Aire du flocon de Von Koch

soit :

- $c_{n-1}$  le nombre de nouveaux triangles créés à l'étape  $n$  ;
- $a_n = a_{n-1} + c_{n-1} * l_n * \frac{\sqrt{3}}{4} = a_{n-1} + 3 * \left(\frac{4}{9}\right)^n * \frac{\sqrt{3}}{16}$  est alors l'aire du flocon à l'étape  $n$ .

et :

- $a_n = a_0 + \frac{3*\sqrt{3}}{16} * \sum_{k=1}^n \left(\frac{4}{9}\right)^k = \frac{\sqrt{3}}{4} + \frac{3*\sqrt{3}}{16} * \frac{4}{9} * \frac{1 - \left(\frac{4}{9}\right)^n}{1 - \frac{4}{9}}$

d'où l'aire du flocon :

- $$\begin{aligned} \lim_{n \rightarrow +\infty} a_n &= \frac{\sqrt{3}}{4} + \frac{3*\sqrt{3}}{16} * \frac{4}{9} * \frac{9}{5} \\ &= \frac{\sqrt{3}}{4} + \frac{12*\sqrt{3}}{80} \\ &= \frac{20*\sqrt{3}}{80} + \frac{12*\sqrt{3}}{80} \\ &= \frac{32*\sqrt{3}}{80} \\ &= \frac{2*\sqrt{3}}{5} \end{aligned}$$

# Mesure de dimension fractale

## Dimension fractale du chou de Romanesco

- supposons que chaque division engendre 10 à 15 branches ;
- prenons le maximum, donc 15 ;
- et un facteur de réduction de 3 ;

on a :

- $$d = \frac{\ln\left(\frac{15}{1}\right)}{\ln\left(\frac{1}{3}\right)} = \frac{\ln(15)}{\ln(3)} = 2,46$$

### Rappel de formule

$$d = \frac{\ln\left(\frac{n}{n_i}\right)}{\ln\left(\frac{1}{r}\right)} \text{ où :}$$

- $n$  est le nombre de branches obtenues après l'itération ;
- $n_i$  est le nombre de branches initiales (1) ;
- $r$  est la réduction.

# Conclusion

- nombreuses techniques de générations de fractales ;
- les fractales stochastiques constituent un bon moyen de génération de paysages ;
- une des meilleures méthodes : point médian aléatoire ;
- les IFS sont un excellent moyen de générations des végétaux et de nuages.




# Conclusion

Qualités des fractales :

- réalisme remarquable ;
- très importante amplification des données ;
- niveau de détail aussi fin que voulu.

Les techniques les plus abouties demandent encore une puissance de calcul considérable.

# Bibliographie

-  Paul S Addison.  
*Fractals And Chaos.*  
Institute of Physics Publishing, London, 1997.
-  Geoffrey Y. Gardner.  
Simulation of Natural Scenes Using Textured Quadric Surfaces.  
18(3) :11–20, July 1984.
-  Aristid LindenMayer.  
*The Alogirthmic Beauty of Plants.*  
Springer-Verlag, 1990.
-  Bernard Sapoval.  
*Universalités et fractales.*  
Flammarion, 2000.